

---

## Capítulo 6

### Fluxo de carga linearizado

---

#### 6.1 Introdução

- ▶ Em capítulos anteriores foi feita a consideração de que o fluxo de potência ativa em um ramo pode ser aproximado por:

$$\begin{aligned} P_{km} &\approx k_1 \cdot \theta_{km} \\ &\approx \frac{1}{x_{km}} \cdot (\theta_k - \theta_m) \end{aligned}$$

- ▶ O fluxo de potência ativa em um ramo:
  - é aproximadamente proporcional à abertura angular da linha ( $\theta_{km}$ ).
  - desloca-se no sentido dos ângulos maiores para os ângulos menores ( $P_{km} > 0$  se  $\theta_k > \theta_m$ ).
- ▶ Esses fatores motivaram o desenvolvimento do **fluxo de carga linearizado** ou **fluxo de carga c.c.**).
- ▶ A distribuição dos fluxos de potência ativa pelos ramos de uma rede pode ser estimada a um baixo custo computacional com precisão aceitável para uma série de aplicações (desde o planejamento até a operação).

- ▶ O fluxo de carga c.c. é baseado no acoplamento das variáveis  $P$  e  $\theta$  (potência ativa/ângulo).

Este acoplamento é tanto maior quanto maiores forem os níveis de tensão da rede.

Para redes de distribuição (baixa tensão) esse acoplamento é mais fraco (os fluxos de potência ativa dependem significativamente das magnitudes das tensões).

- ▶ O fluxo de carga linearizado pode ser útil:
  - em etapas preliminares de estudos de planejamento da expansão de redes elétricas;
  - na classificação de cenários de operação com relação a violações de limites operacionais (análise de segurança).
- ▶ O fluxo de carga c.c. **não** substitui o fluxo de carga c.a.

## 6.2 Linearização

### 6.2.1 Linhas de transmissão

- ▶ Os fluxos de potência ativa em uma linha de transmissão que conecta as barras  $k$  e  $m$  são:

$$\begin{cases} P_{km} = V_k^2 g_{km} - V_k V_m (g_{km} \cos \theta_{km} + b_{km} \sin \theta_{km}) \\ P_{mk} = V_m^2 g_{km} - V_k V_m (g_{km} \cos \theta_{km} - b_{km} \sin \theta_{km}) \end{cases}$$

► Considere as seguintes aproximações:

$$V_k \approx V_m \approx 1 \text{ pu}$$

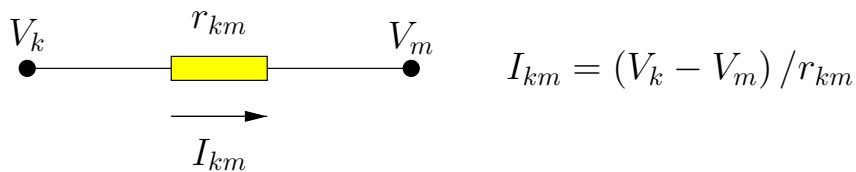
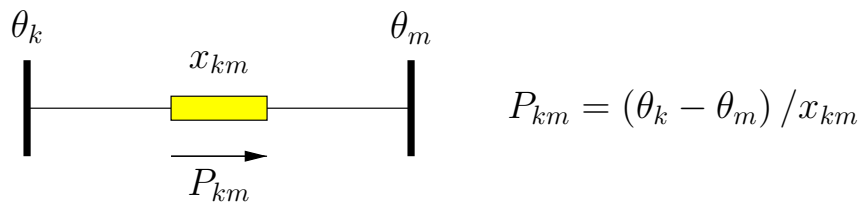
$$\theta_{km} \text{ pequeno} \quad \rightsquigarrow \quad \begin{aligned} \sin \theta_{km} &\approx \theta_{km} \\ \cos \theta_{km} &\approx 1 \end{aligned}$$

$$r_{km} \ll x_{km} \quad \rightsquigarrow \quad \begin{aligned} b_{km} &\approx -\frac{1}{x_{km}} \\ g_{km} &\approx 0 \end{aligned}$$

► Os fluxos de potência aproximados ficam:

$$P_{km} = -P_{mk} = x_{km}^{-1} \theta_{km} = \frac{\theta_k - \theta_m}{x_{km}}$$

► Analogia com a lei de Ohm:



Fluxo de potência c.c.		Circuito c.c.
	$\iff$	
$x_{km}$	$\iff$	$r_{km}$
$P_{km}$	$\iff$	$I_{km}$
$\theta_{km} = (\theta_k - \theta_m)$	$\iff$	$V_{km} = (V_k - V_m)$

## 6.2.2 Transformador em fase

- ▶ Fluxos de potência ativa em um transformador em fase:

$$\begin{cases} P_{km} = (a_{km} V_k)^2 g_{km} - (a_{km} V_k) V_m (g_{km} \cos \theta_{km} + b_{km} \sin \theta_{km}) \\ P_{mk} = V_m^2 g_{km} - (a_{km} V_k) V_m (g_{km} \cos \theta_{km} - b_{km} \sin \theta_{km}) \end{cases}$$

- ▶ Considerando as mesmas aproximações adotadas para a linha de transmissão e ainda que o tap esteja na posição nominal ( $a_{km} \approx 1$ ):

$$P_{km} = -P_{mk} = x_{km}^{-1} \theta_{km}$$

que é idêntica à expressão obtida para a linha de transmissão.

## 6.2.3 Transformador defasador

- ▶ Fluxos de potência ativa em um transformador defasador puro:

$$\begin{cases} P_{km} = V_k^2 g_{km} - V_k V_m [g_{km} \cos (\theta_{km} + \varphi_{km}) + b_{km} \sin (\theta_{km} + \varphi_{km})] \\ P_{mk} = V_m^2 g_{km} - V_k V_m [g_{km} \cos (\theta_{km} + \varphi_{km}) - b_{km} \sin (\theta_{km} + \varphi_{km})] \end{cases}$$

- ▶ Considerando as mesmas aproximações adotadas para a linha de transmissão:

$$P_{km} = -P_{mk} = x_{km}^{-1} (\theta_{km} + \varphi_{km})$$

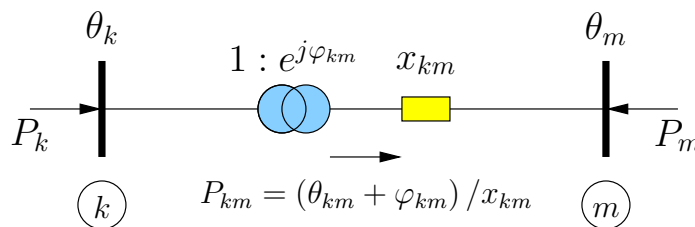
- ▶ A expressão do fluxo de potência pode ser reescrita como:

$$P_{km} = \underbrace{x_{km}^{-1} \theta_{km}}_I + \underbrace{x_{km}^{-1} \varphi_{km}}_II$$

I depende do estado dos nós terminais do transformador (idêntico aos fluxos de potência ativa pelas linhas de transmissão e transformadores em fase)

II depende da posição do tap do transformador

- ▶ Considere um transformador defasador puro operando nas condições mostradas a seguir:



- ▶ Aplicando a lei das correntes de Kirchhoff aos nós  $k$  e  $m$  tem-se:

$$P_k = P_{km} = \frac{1}{x_{km}} (\theta_{km} + \varphi_{km}) = \frac{1}{x_{km}} \theta_{km} + \frac{1}{x_{km}} \varphi_{km}$$

$$P_m = -P_{km} = -\frac{1}{x_{km}} (\theta_{km} + \varphi_{km}) = -\frac{1}{x_{km}} \theta_{km} - \frac{1}{x_{km}} \varphi_{km} \quad (1)$$

- ▶ O termo  $x_{km}^{-1} \theta_{km}$  da expressão do fluxo de potência é idêntico aos fluxos de potência em linhas de transmissão e transformadores em fase, e depende do estado da rede (ângulos de fase).

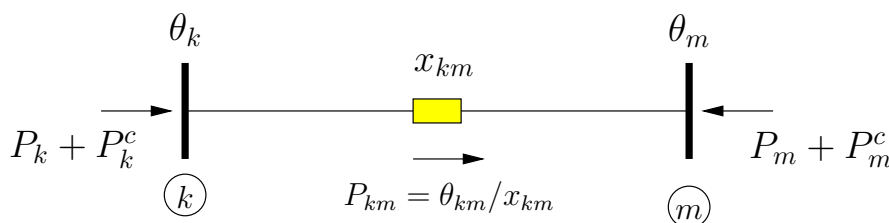
- ▶ O termo  $x_{km}^{-1}\varphi_{km}$  da expressão do fluxo de potência não depende do estado da rede (ângulos de fase).

Considerando que a posição do tap permaneça constante, este termo é constante.

No caso de transformadores com ajuste automático da posição do tap, considera-se o valor nominal ou um valor básico.

<b>Idéia</b>	Eliminar o termo $x_{km}^{-1}\varphi_{km}$ (constante) da expressão do fluxo de potência.
<b>Conseqüência</b>	A expressão do fluxo de potência do transformador defasador ficará idêntica às expressões para linhas de transmissão e transformadores em fase.
<b>Realização</b>	Incluir injeções de compensação nas barras $k$ e $m$ ( $P_k^c$ e $P_m^c$ ) de forma que elas levem em conta o termo constante que foi eliminado anteriormente e que as leis de Kirchhoff continuem a ser atendidas.

- ▶ Considere que o transformador defasador puro possa ser representado por:



- ▶ Se as injeções de compensação forem corretamente determinadas, o estado da rede (ângulos das barras) será o mesmo em ambas as situações.

- ▶ Aplicando a lei das correntes de Kirchhoff para os nós  $k$  e  $m$  na nova situação:

$$P_k + P_k^c = P_{km} = \frac{1}{x_{km}}\theta_{km}$$

$$P_m + P_m^c = -P_{km} = -\frac{1}{x_{km}}\theta_{km}$$

ou:

$$P_k = \frac{1}{x_{km}}\theta_{km} - P_k^c$$

$$P_m = -\frac{1}{x_{km}}\theta_{km} - P_m^c \quad (2)$$

- ▶ Para que os estados da rede sejam os mesmos em ambas as situações, as injeções de compensação devem ser tais que as injeções líquidas nas barras sejam as mesmas.
- ▶ Igualando  $P_k$  e  $P_m$  das equações (1) e (2):

$$\frac{1}{x_{km}}\theta_{km} + \frac{1}{x_{km}}\varphi_{km} = \frac{1}{x_{km}}\theta_{km} - P_k^c$$

$$-\frac{1}{x_{km}}\theta_{km} - \frac{1}{x_{km}}\varphi_{km} = -\frac{1}{x_{km}}\theta_{km} - P_m^c$$

que resulta em:

$$P_k^c = -P_m^c = -\frac{1}{x_{km}}\varphi_{km}$$

- ▶ Se  $\varphi_{km}$  for positivo, a inserção das injeções de compensação equivale a conectar uma carga adicional na barra  $k$  ( $P_k^c < 0$ ) e uma geração adicional na barra  $m$  ( $P_m^c > 0$ ).

Se  $\varphi_{km}$  for negativo, a inserção das injeções de compensação equivale a conectar uma geração adicional na barra  $k$  ( $P_k^c > 0$ ) e uma carga adicional na barra  $m$  ( $P_m^c < 0$ ).

Essas observações são válidas para o modelo do transformador defasador que foi adotado, ou seja,  $(1 : e^{j\varphi_{km}})$  conectado à barra  $k$ .

### 6.3 Formulação matricial

- ▶ Considere uma rede de NB barras sem transformadores defasadores. O fluxo de potência em um ramo que conecta as barras  $k$  e  $m$  é dado por:

$$P_{km} = x_{km}^{-1} \theta_{km}$$

- ▶ A aplicação da lei das correntes de Kirchhoff para um nó  $k$  da rede resulta em:

$$P_k = \sum_{m \in \Omega_k} P_{km} = \sum_{m \in \Omega_k} (x_{km}^{-1} \theta_{km})$$



Da equação acima:

$$\begin{aligned} P_k &= \sum_{m \in \Omega_k} (x_{km}^{-1} \theta_{km}) \\ &= \sum_{m \in \Omega_k} [x_{km}^{-1} (\theta_k - \theta_m)] \\ &= \sum_{m \in \Omega_k} (x_{km}^{-1} \theta_k - x_{km}^{-1} \theta_m) \\ &= \sum_{m \in \Omega_k} (x_{km}^{-1} \theta_k) + \sum_{m \in \Omega_k} (-x_{km}^{-1} \theta_m) \\ &= \left( \sum_{m \in \Omega_k} x_{km}^{-1} \right) \theta_k + \sum_{m \in \Omega_k} (-x_{km}^{-1} \theta_m) \end{aligned}$$

► Considerando todas as barras da rede, tem-se o seguinte sistema de equações:

$$P_k = \left( \sum_{m \in \Omega_k} x_{km}^{-1} \right) \theta_k + \sum_{m \in \Omega_k} (-x_{km}^{-1} \theta_m) \quad k = 1, \dots, \text{NB}$$

- ▶ O sistema de equações referente às potências nodais pode ser colocado na forma matricial:

$$P = B' \cdot \theta$$

em que:

$\theta$  vetor dos ângulos de fase das tensões nodais (dimensão  $[NB \times 1]$ )

$P$  vetor das injeções nodais líquidas de potência ativa (dimensão  $[NB \times 1]$ )

$B'$  matriz do tipo admitância nodal (dimensão  $[NB \times NB]$ ) cujos elementos são:

$$\begin{cases} B'_{kk} = \sum_{m \in \Omega_k} x_{km}^{-1} \\ B'_{km} = -x_{km}^{-1} \\ B'_{mk} = -x_{km}^{-1} \end{cases}$$

- ▶ A matriz  $B'$  é singular, pois:

$$B'_{kk} = - \sum_{m \in \Omega_k} B'_{km}$$

- ▶ Deve-se adotar uma das barras da rede como referência angular. Esta barra terá seu ângulo de fase conhecido (normalmente igual a 0).

O sistema passa a ter  $(NB - 1)$  incógnitas e  $(NB - 1)$  equações.

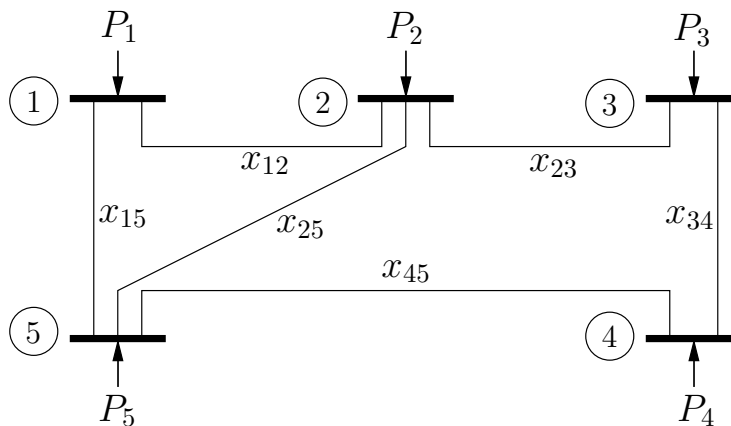
A matriz  $B'$  terá dimensão  $[(NB - 1) \times (NB - 1)]$ .

A equação de injeção de potência ativa referente à barra de referência é eliminada e o valor da injeção é determinado através da aplicação da lei das correntes de Kirchoff após o estado da rede (vetor  $\theta$ ) ter sido obtido.

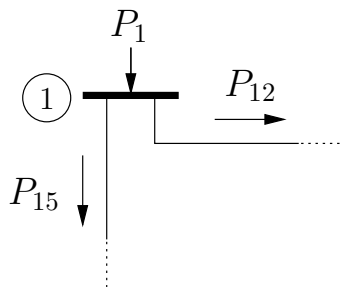
Pode-se também utilizar a técnica já apresentada de se colocar um número muito grande na posição da diagonal da matriz  $B'$  correspondente à barra de referência e a matriz continuará a ter dimensão  $[NB \times NB]$ .

### ■ Exemplo

Obtenha o sistema de equações de fluxo de carga linearizado para a rede mostrada a seguir, considerando a barra 5 como referência angular.



Inicialmente deve-se aplicar a lei das correntes de Kirchoff para todas as barras da rede, como por exemplo:



**Resultando em:**

$$P_1 = P_{12} + P_{15}$$

$$P_2 = P_{21} + P_{23} + P_{25}$$

$$P_3 = P_{32} + P_{34}$$

$$P_4 = P_{43} + P_{45}$$

$$P_5 = P_{51} + P_{52} + P_{54}$$

**Utilizando:**

$$P_{km} = x_{km}^{-1} (\theta_k - \theta_m) = b_{km} (\theta_k - \theta_m)$$

**para os fluxos nos ramos e rearranjando os termos, obtém-se o seguinte sistema de equações:**

$$P_1 = (b_{12} + b_{15}) \cdot \theta_1 + (-b_{12}) \cdot \theta_2 + (-b_{15}) \cdot \theta_5$$

$$P_2 = (-b_{12}) \cdot \theta_1 + (b_{12} + b_{23} + b_{25}) \cdot \theta_2 + (-b_{23}) \cdot \theta_3 + (-b_{25}) \cdot \theta_5$$

$$P_3 = (-b_{23}) \cdot \theta_2 + (b_{23} + b_{34}) \cdot \theta_3 + (-b_{34}) \cdot \theta_4$$

$$P_4 = (-b_{34}) \cdot \theta_3 + (b_{34} + b_{45}) \cdot \theta_4 + (-b_{45}) \cdot \theta_5$$

$$P_5 = (-b_{15}) \cdot \theta_1 + (-b_{25}) \cdot \theta_2 + (-b_{45}) \cdot \theta_4 + (b_{15} + b_{25} + b_{45}) \cdot \theta_5$$

**Colocando o sistema de equações na forma matricial tem-se:**

$$\begin{bmatrix} P_1 \\ P_2 \\ P_3 \\ P_4 \\ P_5 \end{bmatrix} = \begin{bmatrix} (b_{12} + b_{15}) & -b_{12} & 0 & 0 & -b_{15} \\ -b_{12} & (b_{12} + b_{23} + b_{25}) & -b_{23} & 0 & -b_{25} \\ 0 & -b_{23} & (b_{23} + b_{34}) & -b_{34} & 0 \\ 0 & 0 & -b_{34} & (b_{34} + b_{45}) & -b_{45} \\ -b_{15} & -b_{25} & 0 & -b_{45} & (b_{15} + b_{25} + b_{45}) \end{bmatrix} \cdot \begin{bmatrix} \theta_1 \\ \theta_2 \\ \theta_3 \\ \theta_4 \\ \theta_5 \end{bmatrix}$$

**ou, em uma forma compacta:**

$$P = B' \cdot \theta$$

Os ângulos de fase das barras devem obtidos através de:

$$\theta = (B')^{-1} \cdot P$$

No entanto, verifica-se que não é possível obter a inversa de  $B'$ , pois ela é singular.

Deve-se atribuir a uma das barras a função de referência angular, como por exemplo a barra 5 (conforme o enunciado do problema). Assim, o ângulo de fase da barra 5 torna-se conhecido, não sendo mais uma incógnita do problema.

Deve-se também retirar a equação correspondente à barra 5 do sistema de equações para que o número de equações seja igual ao número de incógnitas. Tem-se então o novo sistema de equações:

$$\begin{bmatrix} P_1 \\ P_2 \\ P_3 \\ P_4 \end{bmatrix} = \begin{bmatrix} b_{12} + b_{15} & -b_{12} & 0 & 0 \\ -b_{12} & b_{12} + b_{23} + b_{25} & -b_{23} & 0 \\ 0 & -b_{23} & b_{23} + b_{34} & -b_{34} \\ 0 & 0 & -b_{34} & b_{34} + b_{45} \end{bmatrix} \cdot \begin{bmatrix} \theta_1 \\ \theta_2 \\ \theta_3 \\ \theta_4 \end{bmatrix}$$

A nova matriz  $B'$  agora possui inversa e os ângulos podem ser calculados.

A adoção de uma barra de referência também permite que na barra de referência ocorra o balanço de potência. Neste caso:

$$P_5 = -(P_1 + P_2 + P_3 + P_4) \quad (3)$$

ou:

$$P_5 = P_{51} + P_{52} + P_{54} \quad (4)$$

A equação (3) é válida para este exemplo pois não há perdas de potência ativa na transmissão (ramos têm resistências desprezíveis). A equação (4) é sempre válida. O procedimento para consideração das perdas de transmissão será mostrado adiante.

Do ponto de vista computacional muitas vezes não é conveniente mudar as dimensões da matriz  $B'$ .

Pode-se utilizar a técnica já apresentada que mantém a dimensão original da matriz considerando a barra de referência de maneira adequada. Basta inserir na posição da diagonal da matriz correspondente à barra de referência um número muito grande (tendendo a  $\infty$ ):

$$B' = \begin{bmatrix} b_{12} + b_{15} & -b_{12} & 0 & 0 & -b_{15} \\ -b_{12} & b_{12} + b_{23} + b_{25} & -b_{23} & 0 & -b_{25} \\ 0 & -b_{23} & b_{23} + b_{34} & -b_{34} & 0 \\ 0 & 0 & -b_{34} & b_{34} + b_{45} & -b_{45} \\ -b_{15} & -b_{25} & 0 & -b_{45} & \infty \end{bmatrix}$$

Esta nova matriz não é singular. Sua inversão resulta em:

$$B'^{-1} = \begin{bmatrix} \times & \times & \times & \times & 0 \\ \times & \times & \times & \times & 0 \\ \times & \times & \times & \times & 0 \\ \times & \times & \times & \times & 0 \\ 0 & 0 & 0 & 0 & 0 \end{bmatrix}$$

que é equivalente à retirada da equação de  $P_5 \rightsquigarrow$  o ângulo  $\theta_5$  é calculado igual a zero e  $P_5$  não influi no cálculo dos demais ângulos de fase nodais.



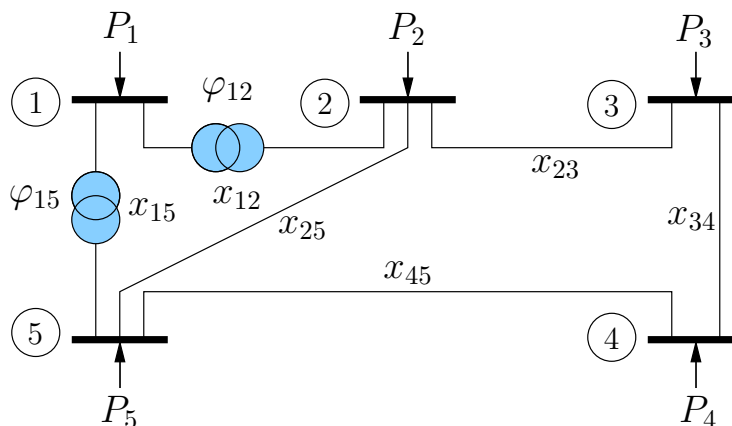
- ▶ De acordo com o modelo adotado, linhas de transmissão, transformadores em fase e transformadores defasadores são modelados como reatâncias entre duas barras.

Do ponto de vista da matriz  $B'$  não há diferença entre os três equipamentos.

Se houver transformadores defasadores, deve-se incluir as injeções de compensação no sistema de equações.

### ■ Exemplo

Voltando à rede exemplo de 5 barras e 6 ramos, obtenha o sistema de equações de fluxo de carga linearizado, considerando que as linhas de transmissão (1-2) e (1-5) sejam substituídas por transformadores defasadores puros com mesmas reatâncias e ângulos de defasagem respectivamente iguais a  $\varphi_{12}$  e  $\varphi_{15}$ .



Aplicando a lei das correntes de Kirchhoff para todas as barras da rede:

$$P_1 = P_{12} + P_{15}$$

$$P_2 = P_{21} + P_{23} + P_{25}$$

$$P_3 = P_{32} + P_{34}$$

$$P_4 = P_{43} + P_{45}$$

$$P_5 = P_{51} + P_{52} + P_{54}$$

em que, agora:

$$P_{12} = -P_{21} = b_{12} \cdot (\theta_1 - \theta_2 + \varphi_{12})$$

$$P_{15} = -P_{51} = b_{15} \cdot (\theta_1 - \theta_5 + \varphi_{15})$$

Utilizando a expressão  $P_{km} = x_{km}^{-1} (\theta_k - \theta_m) = b_{km} (\theta_k - \theta_m)$  para os fluxos nos demais ramos, considerando os termos relativos aos ângulos de defasagem como injeções de potência e rearranjando os termos, obtém-se o seguinte sistema de equações:

$$P_1 - b_{12}\varphi_{12} - b_{15}\varphi_{15} = (b_{12} + b_{15}) \cdot \theta_1 + (-b_{12}) \cdot \theta_2 + (-b_{15}) \cdot \theta_5$$

$$P_2 + b_{12}\varphi_{12} = (-b_{12}) \cdot \theta_1 + (b_{12} + b_{23} + b_{25}) \cdot \theta_2 + (-b_{23}) \cdot \theta_3 + (-b_{25}) \cdot \theta_5$$

$$P_3 = (-b_{23}) \cdot \theta_2 + (b_{23} + b_{34}) \cdot \theta_3 + (-b_{34}) \cdot \theta_4$$

$$P_4 = (-b_{34}) \cdot \theta_3 + (b_{34} + b_{45}) \cdot \theta_4 + (-b_{45}) \cdot \theta_5$$

$$P_5 + b_{15}\varphi_{15} = (-b_{15}) \cdot \theta_1 + (-b_{25}) \cdot \theta_2 + (-b_{45}) \cdot \theta_4 + (b_{15} + b_{25} + b_{45}) \cdot \theta_5$$

Colocando na forma matricial:

$$\begin{bmatrix} P_1 \\ P_2 \\ P_3 \\ P_4 \\ P_5 \end{bmatrix} + \begin{bmatrix} -b_{12}\varphi_{12} - b_{15}\varphi_{15} \\ b_{12}\varphi_{12} \\ 0 \\ 0 \\ b_{15}\varphi_{15} \end{bmatrix} = \begin{bmatrix} (b_{12} + b_{15}) & -b_{12} & 0 & 0 & -b_{15} \\ -b_{12} & (b_{12} + b_{23} + b_{25}) & -b_{23} & 0 & -b_{25} \\ 0 & -b_{23} & (b_{23} + b_{34}) & -b_{34} & 0 \\ 0 & 0 & -b_{34} & (b_{34} + b_{45}) & -b_{45} \\ -b_{15} & -b_{25} & 0 & -b_{45} & (b_{15} + b_{25} + b_{45}) \end{bmatrix} \cdot \begin{bmatrix} \theta_1 \\ \theta_2 \\ \theta_3 \\ \theta_4 \\ \theta_5 \end{bmatrix}$$



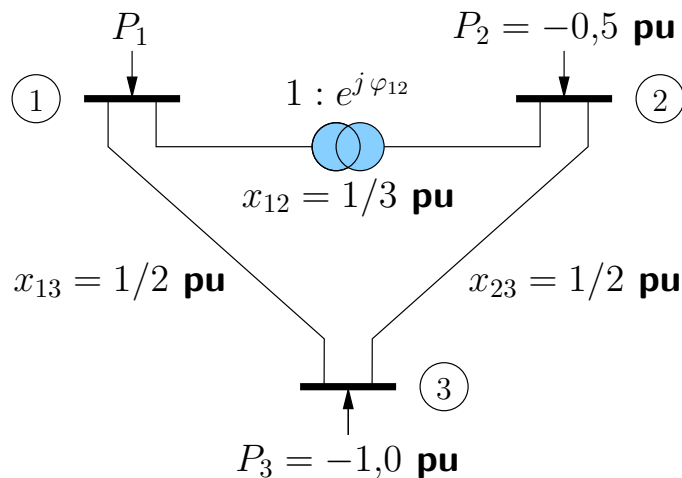
ou, em uma forma compacta:

$$P + P^c = B' \cdot \theta$$



■ Exemplo

Considere a rede de 3 barras e 3 ramos a seguir. A barra 1 é escolhida como referência angular ( $\theta_1 = 0$ ).



Considere inicialmente que o tap do transformador defasador que conecta as barras 1 e 2 esteja na posição nominal, ou seja,  $\varphi_{12} = 0$ . Pode-se obter os ângulos de fase nodais a partir de:

$$\begin{bmatrix} P_1 \\ -0,5 \\ -1,0 \end{bmatrix} = \begin{bmatrix} \infty & -3,0 & -2,0 \\ -3,0 & 5,0 & -2,0 \\ -2,0 & -2,0 & 4,0 \end{bmatrix} \cdot \begin{bmatrix} \theta_1 \\ \theta_2 \\ \theta_3 \end{bmatrix}$$

que resulta em:

$$\theta = [ 0 \quad -0,250 \quad -0,375 ]^T \text{ rad}$$

Os fluxos nos ramos são:

$$P_{12} = x_{12}^{-1} \cdot \theta_{12} = 0,75 \text{ pu}$$

$$P_{13} = x_{13}^{-1} \cdot \theta_{13} = 0,75 \text{ pu}$$

$$P_{23} = x_{23}^{-1} \cdot \theta_{23} = 0,25 \text{ pu}$$

Para  $\varphi_{12} = -0,1$  radianos o vetor das injeções de compensação fica:

$$P^c = \begin{bmatrix} -\frac{1}{x_{12}} \cdot \varphi_{12} \\ \frac{1}{x_{12}} \cdot \varphi_{12} \\ 0 \end{bmatrix} = \begin{bmatrix} 0,3 \\ -0,3 \\ 0 \end{bmatrix} \text{ pu}$$

Os ângulos de fase nodais são calculados por:

$$\theta = (\mathbf{B}')^{-1} \cdot (\mathbf{P} + \mathbf{P}^c) = \begin{bmatrix} 0,0000 \\ -0,3250 \\ -0,4125 \end{bmatrix} \text{ rad}$$

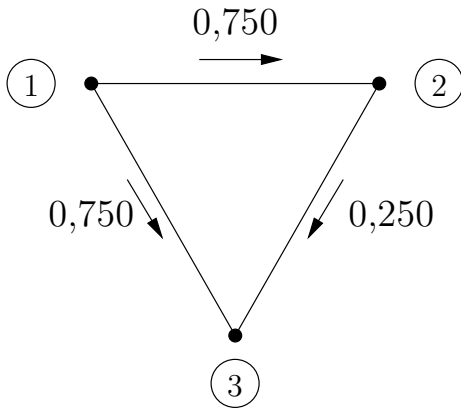
Os fluxos nos ramos agora são:

$$P_{12} = x_{12}^{-1} \cdot (\theta_{12} + \varphi_{12}) = 0,675 \text{ pu}$$

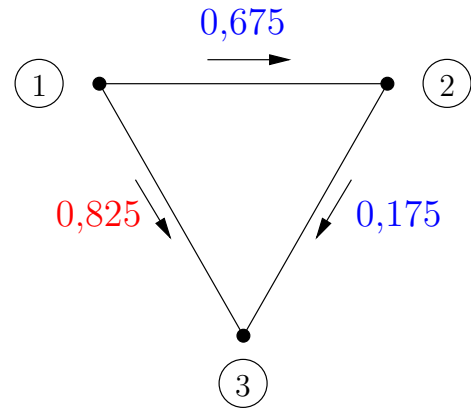
$$P_{13} = x_{13}^{-1} \cdot \theta_{13} = 0,825 \text{ pu}$$

$$P_{23} = x_{23}^{-1} \cdot \theta_{23} = 0,175 \text{ pu}$$

O ajuste da posição do tap em  $\varphi_{12} = -0,1$  radianos resultou em um alívio de carga no ramo 1-2. Em consequência, o carregamento do ramo 1-3 aumentou:



$$\varphi_{12} = 0$$



$$\varphi_{12} = -0,1$$

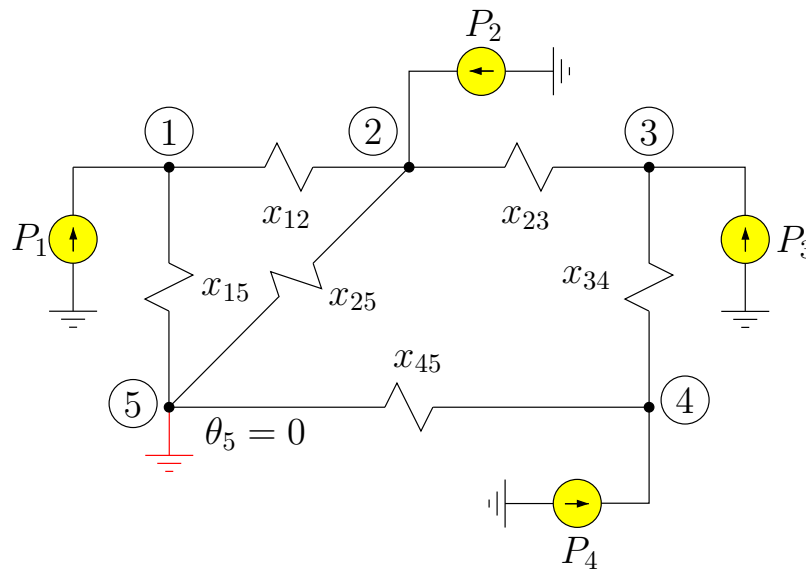


## 6.4 Modelo c.c.

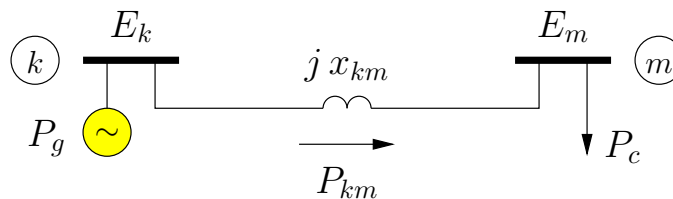
- O modelo de fluxo de carga linearizado é tal que existe a seguinte analogia entre a rede e um circuito c.c.:

$P = B' \cdot \theta$	➡	Fluxo de carga linearizado		Circuito c.c.	
$I = G \cdot V$					
		$P$	↔	$I$	
		$\theta$	↔	$V$	
		$B'$	↔	$G$	
		$x_{km}$	↔	$r_{km}$	

- O modelo c.c. correspondente à rede exemplo de 5 barras e 6 ramos mostrada anteriormente é:



- Considere a rede de 2 barras conectadas por uma linha de transmissão mostrada a seguir.



Considere que:

- as magnitudes das tensões nodais são iguais a 1 pu ( $V_k = V_m = 1$  pu)
- a linha não consome potência ativa ( $r_{km} = 0$ ), logo,  $P_g = P_c = P_{km}$

A corrente pela linha é dada por:

$$I_{km} = \frac{1}{jx_{km}} (E_k - E_m)$$

O fluxo de potência complexa é:

$$\begin{aligned} S_{km}^* &= E_k^* I_{km} \\ &= E_k^* \cdot \frac{1}{j x_{km}} (E_k - E_m) \\ &= \frac{1}{j x_{km}} |E_k|^2 - \frac{1}{j x_{km}} E_k^* E_m \end{aligned}$$

Considerando  $V_k = V_m = 1$  pu tem-se:

$$\begin{aligned} S_{km}^* &= -j \frac{1}{x_{km}} + j \frac{1}{x_{km}} e^{-j(\theta_k - \theta_m)} \\ &= -j \frac{1}{x_{km}} + j \frac{1}{x_{km}} [\cos(\theta_k - \theta_m) - j \sin(\theta_k - \theta_m)] \end{aligned}$$

O fluxo de potência ativa no ramo  $k$ - $m$  (modelo c.a.) é igual a:

$$P_{km} = \Re \{ S_{km} \} = \frac{1}{x_{km}} \sin \theta_{km}$$

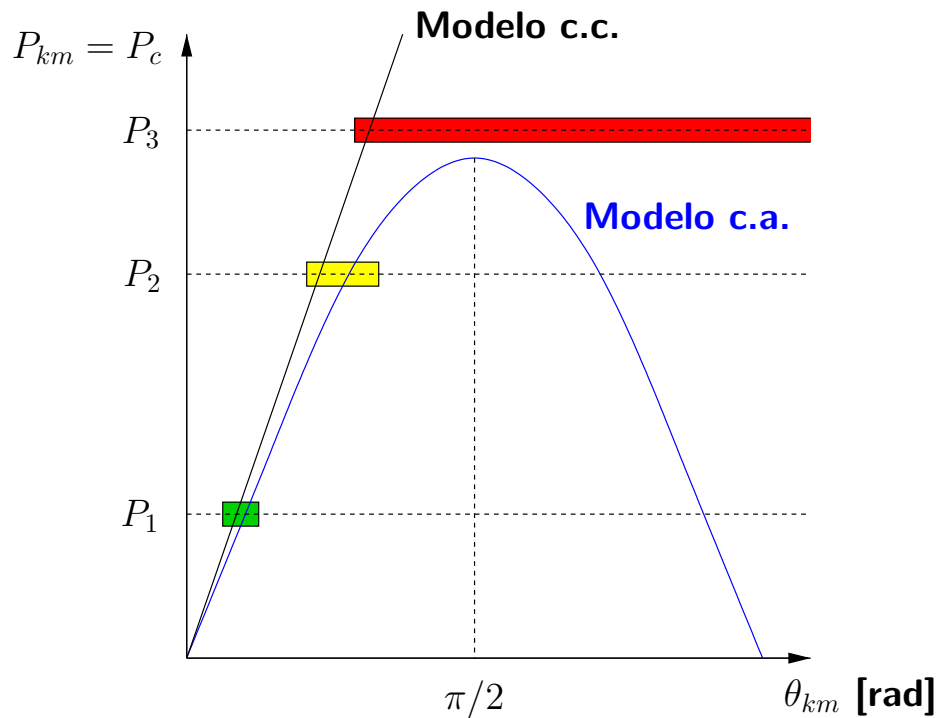
Considerando agora o modelo c.c., faz-se ainda a seguinte simplificação adicional:

$$\sin \theta_{km} \approx \theta_{km} \quad \text{(abertura angular pequena)}$$

resultando em:

$$P_{km} = \frac{1}{x_{km}} \theta_{km}$$

As curvas  $[P_{km} \times \theta_{km}]$  correspondentes aos modelos c.a. e c.c. são:



Análise:

- Para  $P_c = P_{km} = P_1$ , os modelos fornecem soluções, e estas são próximas
- Para  $P_c = P_{km} = P_2$ , os modelos também fornecem soluções, porém, ocorre uma diferença maior entre elas (quanto mais carregada a rede estiver, maior será o erro)
- Para  $P_c = P_{km} = P_3$ , somente o modelo c.c. fornece uma solução. Deve-se notar que  $P_3$  é maior que o **limite de estabilidade estática da linha** ( $\theta_{km} > 90^\circ$ ), logo, o modelo c.a. não admite solução

A solução fornecida pelo modelo c.c. é errada, porém, pode dar uma indicação de quanto o limite da linha foi excedido

O modelo c.a. não dá informação alguma pois não há solução viável e o processo iterativo de cálculo de fluxo de carga diverge

- O fato do fluxo de carga c.c. sempre fornecer uma solução, mesmo que o fluxo de carga c.a. não a forneça, é muito importante em etapas preliminares do planejamento da expansão de sistemas elétricos

No planejamento, o acréscimo de carga/geração pode causar problemas de suporte de potência reativa ou falta da capacidade de transmissão, implicando na não convergência do fluxo de carga c.a.

Estudos preliminares utilizando o fluxo de carga c.c. podem fornecer alguma indicação do que pode estar ocorrendo com a rede em termos de suas limitações

## 6.5 Representação das perdas de potência ativa no modelo c.c.

► Para redes que apresentam perdas elevadas:

- o modelo c.c. pode resultar em erros consideráveis
- esses erros aparecem especialmente para os ramos próximos da barra de referência
- há casos em que se deve considerar as perdas de potência ativa na transmissão

► As perdas de potência ativa em um ramo  $k-m$  são dadas por:

$$P_{km}^p = P_{km} + P_{mk} = g_{km} (V_k^2 + V_m^2 - 2V_k V_m \cos \theta_{km})$$

► São feitas as seguintes considerações:

■  $V_k \approx V_m \approx 1 \text{ pu}$

■ A abertura angular  $\theta_{km}$  é pequena. Através da expansão em série de Taylor, tem-se:

$$\begin{aligned}\cos \theta_{km} &= 1 - \frac{\theta_{km}^2}{2} \\ \text{sen } \theta_{km} &= \theta_{km}\end{aligned}$$

► Fazendo as substituições na expressão das perdas de potência ativa:

$$P_{km}^p = g_{km} \theta_{km}^2 \quad (5)$$

► A injeção líquida de potência ativa na barra  $k$  é:

$$P_k = V_k \sum_{m \in \mathcal{K}} V_m (G_{km} \cos \theta_{km} + B_{km} \text{sen } \theta_{km})$$

► Considerando novamente a aproximação relativa às magnitudes das tensões  $V_k \approx V_m \approx 1$  e separando o termo da somatória para o qual  $m = k$ :

$$P_k = G_{kk} + \sum_{m \in \Omega_k} (G_{km} \cos \theta_{km} + B_{km} \text{sen } \theta_{km})$$

► Considerando:

$$G_{km} = -g_{km}$$

$$G_{kk} = \sum_{m \in \Omega_k} g_{km}$$

$$B_{km} \approx x_{km}^{-1} \quad \text{(desprezando as resistências)}$$



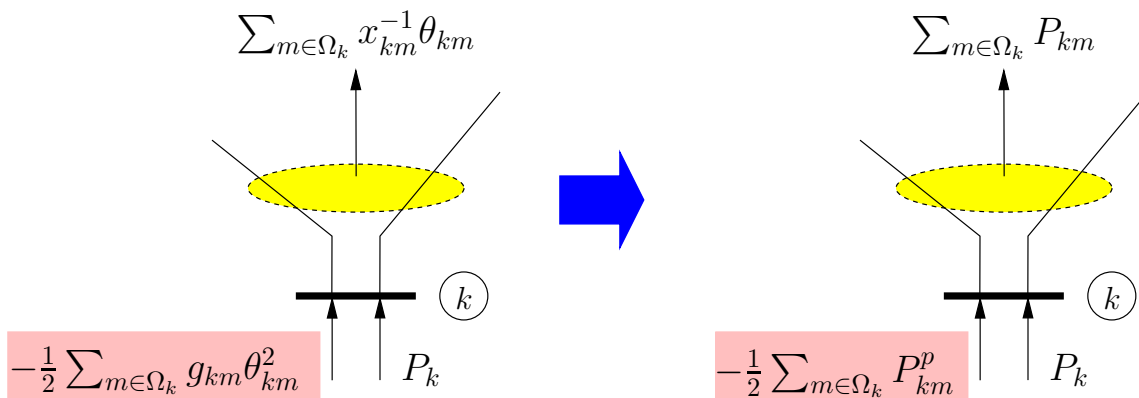
obtém-se:

$$\begin{aligned}
 P_k &= \sum_{m \in \Omega_k} g_{km} + \sum_{m \in \Omega_k} (-g_{km} \cos \theta_{km} + x_{km}^{-1} \text{sen } \theta_{km}) \\
 &= \sum_{m \in \Omega_k} [(1 - \cos \theta_{km}) g_{km}] + \sum_{m \in \Omega_k} x_{km}^{-1} \text{sen } \theta_{km}
 \end{aligned}$$

- Considerando as aproximações para as funções seno e co-seno (obtidas através da expansão em série de Taylor), rearranjando os termos e lembrando da equação (5):

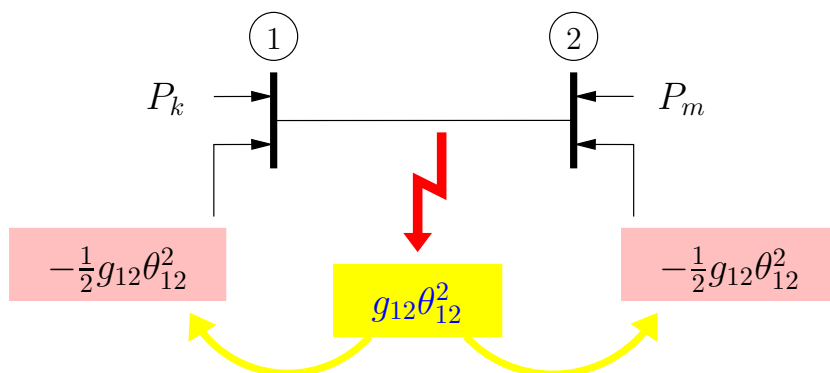
$$\begin{aligned}
 P_k - \frac{1}{2} \sum_{m \in \Omega_k} g_{km} \theta_{km}^2 &= \sum_{m \in \Omega_k} x_{km}^{-1} \theta_{km} \\
 P_k - \frac{1}{2} \sum_{m \in \Omega_k} P_{km}^p &= \sum_{m \in \Omega_k} x_{km}^{-1} \theta_{km}
 \end{aligned}$$

- A expressão obtida para  $P_k$  equivale à aplicação da lei das correntes de Kirchhoff à barra  $k$  em que aparece uma injeção adicional (carga):



- ▶ A injeção adicional corresponde à metade das perdas de potência ativa de todos os ramos conectados à barra  $k$ .

As perdas de potência ativa do ramo  $k-m$  são divididas: metade é alocada à barra  $k$  e a outra metade à barra  $m$ .



- ▶ Assim, o modelo c.c. com perdas fica:

$$P + P^p = B' \cdot \theta$$

- ▶ Os elementos do vetor de perdas de potência ativa dependem dos ângulos de fase nodais, que são justamente as incógnitas do problema.

O problema de fluxo de carga usando o modelo linearizado é então resolvido em duas etapas:

(1) Resolver o sistema de equações uma vez desprezando as perdas:

$$P = B' \cdot \theta'$$

(2) Calcular as perdas aproximadas a partir do vetor  $\theta'$  e distribuí-las como cargas adicionais (criar vetor  $P^p$ ).

(3) Resolver o problema com perdas:

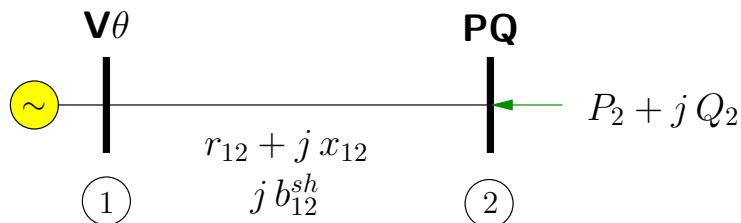
$$P + P^p = B' \cdot \theta$$

► Observações:

- são resolvidos dois sistemas lineares
- os vetores independentes são diferentes
- a matriz  $B'$  é a mesma, portanto, só precisa ser montada e invertida uma vez
- na análise de contingências as perdas são calculadas para o caso base e consideradas constantes durante a simulação

## ■ Exemplo

Considere a rede de 2 barras e 1 ramo mostrada a seguir.



Os dados da rede são os seguintes:

Barra	Tipo	$P$	$Q$	$V$	$\theta$
1	Vθ	-	-	1,0	0,0
2	PQ	-0,30	0,07	-	-

Linha	$r$	$x$	$b^{sh}$
1-2	0,20	1,00	0,02

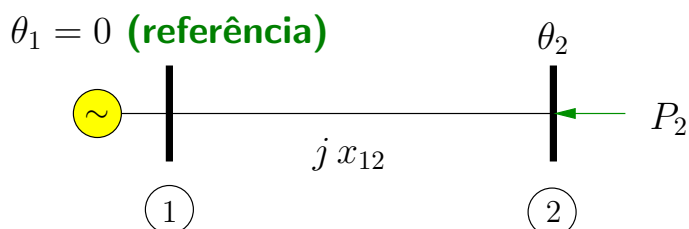
Resolvendo o problema de fluxo de carga pelo método de Newton, obteve-se:

Ângulo de fase da barra 2  $\theta_2 = -0,3302 \text{ rad}$

Potência ativa fornecida pelo gerador da barra 1  $P_1 = 0,3193 \text{ pu}$

Perdas de potência ativa na linha de transmissão  $P^p = 0,0193 \text{ pu}$

Considerando agora o mesmo circuito do ponto de vista do modelo linearizado, tem-se:



No caso desta rede, tem-se:

$$\theta = \theta_2$$

$$P = P_2 = -0,30$$

$$B' = 1/x_{12} = 1,0 \quad \text{(escalar)}$$

Logo:

$$\theta_2 = (1,0)^{-1} \cdot (-0,30) = -0,30 \text{ rad}$$

De outra forma:

$$\theta = \begin{bmatrix} \theta_1 \\ \theta_2 \end{bmatrix} \quad P = \begin{bmatrix} P_1 \\ P_2 \end{bmatrix}$$

$$B' = \begin{bmatrix} 1/x_{12} & -1/x_{12} \\ -1/x_{12} & 1/x_{12} \end{bmatrix} = \begin{bmatrix} 1,0 & -1,0 \\ -1,0 & 1,0 \end{bmatrix}$$

Considerando a barra 1 como sendo a referência angular:

$$B' = \begin{bmatrix} \infty & -1,0 \\ -1,0 & 1,0 \end{bmatrix}$$

A solução é dada por:

$$\theta = \begin{bmatrix} \theta_1 \\ \theta_2 \end{bmatrix} = (B')^{-1} \cdot P = \begin{bmatrix} 0 & 0 \\ 0 & 1,0 \end{bmatrix} \cdot \begin{bmatrix} P_1 \\ -0,30 \end{bmatrix} = \begin{bmatrix} 0 \\ -0,30 \end{bmatrix} \text{ rad}$$

O fluxo de potência pela linha de transmissão vale:

$$P_{12} = \frac{1}{x_{12}} \cdot (\theta_1 - \theta_2) = \frac{1}{1,0} \cdot (0 + 0,30) = 0,30 \text{ pu}$$

A potência fornecida pela barra 1 é igual a:

$$P_1 = P_{12} = 0,30 \text{ pu} \quad (\text{lei das correntes de Kirchhoff para a barra 1})$$

A partir dos dados do problema, a condutância da linha de transmissão é:

$$g_{12} = \frac{r_{12}}{r_{12}^2 + x_{12}^2} = \frac{0,20}{0,20^2 + 1,00^2} = 0,1923 \text{ pu}$$

Para que as perdas de potência na transmissão sejam consideradas, obtém-se o novo vetor das potências nodais:

$$\begin{aligned} \mathbf{P} &= \begin{bmatrix} P_1 \\ -0,30 \end{bmatrix} + \begin{bmatrix} -\frac{1}{2}g_{12}\theta_{12}^2 \\ -\frac{1}{2}g_{21}\theta_{21}^2 \end{bmatrix} \\ &= \begin{bmatrix} P_1 \\ -0,30 \end{bmatrix} + \begin{bmatrix} -0,0087 \\ -0,0087 \end{bmatrix} \\ &= \begin{bmatrix} P_1 - 0,0087 \\ -0,3087 \end{bmatrix} \text{ pu} \end{aligned}$$

Para este novo vetor das potências nodais, o estado da rede considerando as perdas na transmissão será:

$$\theta = \begin{bmatrix} \theta_1 \\ \theta_2 \end{bmatrix} = \begin{bmatrix} 0 \\ -0,3087 \end{bmatrix}$$

O fluxo de potência pela linha de transmissão vale:

$$P_{12} = \frac{1}{x_{12}} \cdot (\theta_1 - \theta_2) = \frac{1}{1,0} \cdot (0 + 0,3087) = 0,3087 \text{ pu}$$

A potência fornecida pela barra 1 é obtida através da aplicação da lei das correntes de Kirchhoff para a barra 1:

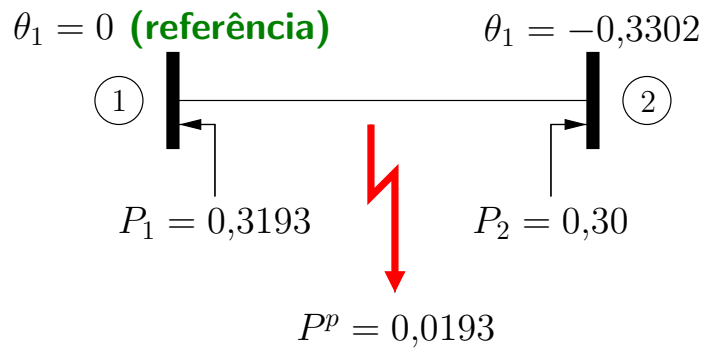
$$P_1 - 0,0087 = P_{12} = 0,3087$$

$$P_1 = 0,3174 \text{ pu}$$

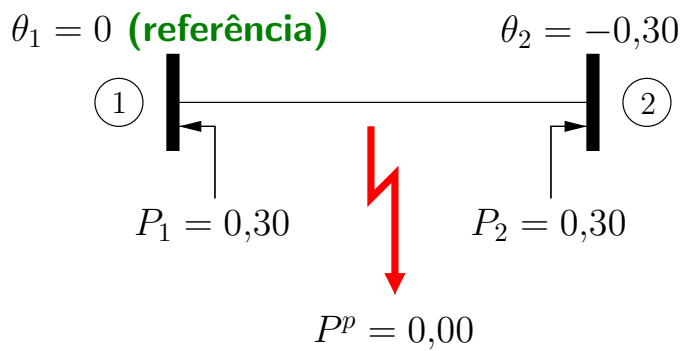
Levando em conta que na realidade a carga é igual a  $P_2 = -0,3 \text{ pu}$  e que a geração total calculada foi de  $P_1 = 0,3174 \text{ pu}$ , as perdas na transmissão serão iguais a:

$$\begin{aligned} P_p &= P_1 + P_2 \\ &= 0,0174 \text{ pu} \end{aligned}$$

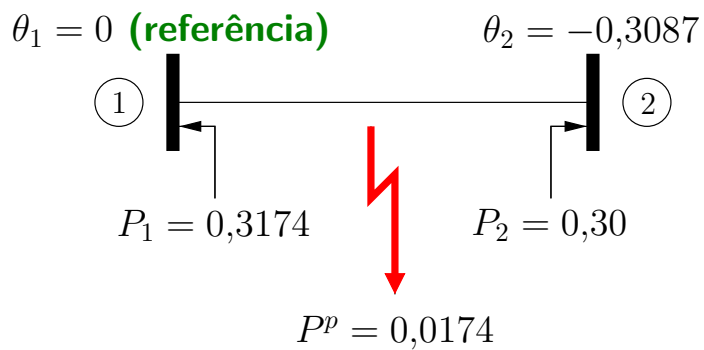
## Comparação:



Newton



Linearizado **sem** perdas



Linearizado **com** perdas

